

**MAQNİT QEYRİ-SİMMETRİKLİYİNİ NƏZƏRƏ
ALMAQLA ÜÇFAZLI GÜC TRANSFORMATORLARININ
TƏDQİQİNƏ DAİR**

MƏMMƏDOV F.İ., HÜSEYNOV R.A., HACIYEV N.İ.

Sumqayıt Dövlət Universiteti

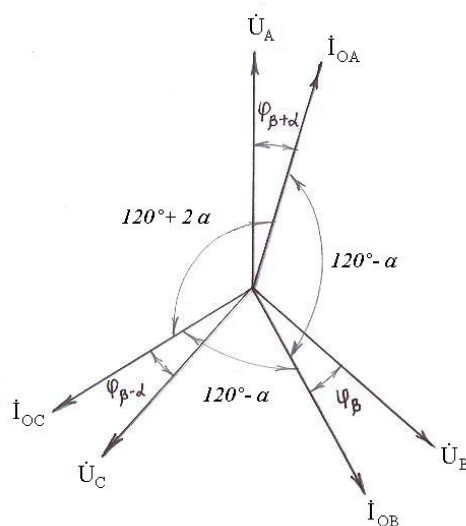
Üçfazlı güc transformatorlarının maqnit sistemində olan qeyri-simmetriklik tədqiq edilir. Maqnit qeyri-simmetrikliliyini nəzərə almaqla qurğunun hər bir fazasında yüksüz işləmə rejiminə uyğun cərəyanlar və güclər, transformatorun fazalarında maqnit qeyri-simmetrikliliyindən yaranan faz sürüşməsinin transformatorun konstruktiv ölçülərindən asılı olan ifadələri təyin olunur.

Sənayenin demək olar ki, bütün sahələrində olan qidalandırıcı yarımsənialarda üçfazlı güc transformatorları (ÜGT) istismar olunur. Məlumdur ki, belə ÜGT-lər elektrik şəbəkə və sistemlərinin əsas elementləri hesab olunur. Mövcud texniki ədəbiyyatlarda ÜGT-nin dövrəsində baş verən fiziki proseslərin hərtərəfli tədqiq olunması haqqında məlumat verilir. Lakin ÜGT-nin maqnit qeyri-simmetrikliliyindən asılı olaraq onun girişinə verilən gücün qəbul edilib, tələbatçıya ötürülməsi lazımi səviyyədə tədqiq olunmayıbdır.

Hazırkı məqalədə ÜGT-də olan maqnit qeyri-simmetrikliliyini nəzərə almaqla, transformator tərəfindən şəbəkədən qəbul edilib istifadəçiyə ötürülməsi zamanı gücün qiymətinin düzgün təyin edilməsi məsələsinə baxılır.

Nəzərdə tutulan məsələnin həlli ÜGT-nin yüksüz işləmə və yük rejimlərinə uyğun yeri yetirilə bilər. Bu məqalədə transformatorun yüksüz işləmə rejimində maqnit qeyri-simmetrikliliyinin təsirinin tədqiqnə baxılır.

ÜGT-nin maqnit sistemində fazaların maqnitləşdirici cərəyanları bir-birinə bərabər olmayıb, qeyri simmetrik sistem yaradır. Buna görə də ÜGT-nin fazalarından axan cərəyanların birinci harmonikalıları bir-birinə nəzərən 120° faza sürüşməsindən fərqli olur ki, bu da şəkil 1-də verilən vektor diaqramında göstərilmişdir. Vektor diaqramında göstərilən U_A , U_B , U_C – faz gərginlikləri, I_{OA} , I_{OB} , I_{OC} – yüksüz işləmə rejiminə uyğun gələn faz cərəyanlarıdır. Şəkil-dən görünür ki, cərəyan vektorları arasındaki faz sürüşmə bucaqları uyğun olaraq $120^\circ - \alpha$; $120^\circ + 2\alpha$ və $120^\circ + 2\alpha$ olur.



Şək.1.

ÜGT-nin faz cərəyanları ilə, faz gərginlikləri arasındaki sürüşmə bucaqları uyğun olaraq $\varphi_A = \varphi_B + \alpha$; φ_B və $\varphi_C = \varphi_B - \alpha$ kimi alınır. Uyğun olaraq ÜGT-nin yüksüz işləmə rejimində uyğun gələn güclər P_{OA} , P_{OB} və P_{OC} qəbul edilir. Fazalarda ölçülən bütün güclər sistemdə maqnit qeyri-simmetrikliyi olduqda müxtəlif alınır [1]. Vektor diaqramına uyğun olaraq

$$\begin{aligned}\&P_{OA} = I_{OAm} e^{-j(\varphi_B + \alpha)} \\ &P_{OB} = I_{OBm} e^{-j(120^\circ + \varphi_B)} \\ &P_{OC} = I_{OCm} e^{-j(240^\circ + \varphi_B - \alpha)}\end{aligned}\quad (1)$$

kimi yazılır. Burada α - maqnit qeyri-simmetrikliyindən yaranan faz sürüşmə bucağıdır.

Hər bir fazanın gücü uyğun olaraq:

$$\begin{aligned}P_{OA} &= U_A I_{OAm} \cos(\varphi_B + \alpha) \\ P_{OB} &= U_B I_{OBm} \cos \varphi_B \\ P_{OC} &= U_C I_{OCm} \cos(\varphi_B - \alpha)\end{aligned}\quad (2)$$

kimi təyin edilir. ÜGT-nin tam aktiv gücü aşağıdakı kimi ifadə olunur:

$$P_O = U_A I_{OAm} \cos(\varphi_B + \alpha) + U_B I_{OBm} \cos \varphi_B + U_C I_{OCm} \cos(\varphi_B - \alpha). \quad (3)$$

Sonuncu ifadə üzərində çevirmə aparıb oxşar həndləri islah etmiş olsaq ÜGT-nin tam aktiv gücünün

$$P_0 = [(U_A I_{OAm} + U_C I_{OCm}) \cos \alpha + U_B I_{OBm}] \cos \varphi_B \quad (4)$$

olduğunu alırıq.

Tədqiq olunan transformatorun yüksüz işləmə rejimində $U_A = U_B = U_C = U_O$ və $I_{OAm} = I_{OCm} = I_O$ qəbul olunduğu üçün (4) ifadəsi

$$P_O = U_O [2I_O \cos \alpha + I_{OBm}] \cos \varphi_B \quad (5)$$

kimi yazılır. Qeyd etmək lazımdır ki, bütün üçfazlı güc transformatorları üçün $I_O \approx I_{OBm}$ qəbul edilir. Bu halda

$$P_O = U_O I_O \cos \varphi_B (1 + 2 \cos \alpha) \quad (6)$$

olduğu alınır. Burada $\cos \varphi_B = \cos \varphi_O$ qəbul edilir.

Alınmış sonuncu ifadədən görünür ki, transformatorun dövrəsində maqnit qeyri-simmetrikliyi olduqda (6) ifadəsi

$$P_O = U_O I_O \cos \varphi_O \quad (7)$$

ifadəsi ilə müqaisə olunduqda

$$(1 + 2 \cos \alpha) < 3 \quad (8)$$

bərabərsizliyi alınır.

(8) bərabərsizliyindən aydın görünür ki, $\alpha = 0$ olduqda transformatorda maqnit qeyri-simmetrikliyi olmur və $1 + 2 \cos \alpha = 3$ alınır. Lakin $\alpha \neq 0$ olduqda (8) bərabərsizliyi güvvədə qalır. Burada α -nın qiyməti artdıqca $(1 + 2 \cos \alpha)$ ifadəsi azalır. Bunun hesabına transformatorun mənbədən qəbul etdiyi aktiv güc azalmış olur və bu da onun real konstruksiyasından asılıdır. Əgər ÜGT-nin çubuqlarının uzunluğunu h , çubuqların mərkəzi oxları arasındaki məsafəni d qəbul etmiş olsaq B fazasının maqnit müqaviməti, A və C fazalarının maqnit müqavimətlərindən kiçik olur. Buna uyğun olaraq transformatorun B fazasının induktiv müqaviməti A və C fazalarının induktiv müqavimətlərinin hər birindən çox olur. Bununla əlaqədar olaraq $I_{OBm} < I_{OAm}$ və $I_{OBm} < I_{OCm}$ olur. Bununla belə $I_{OAm} = I_{OCm} = I_O$ alınır.

ÜGT-nin yüksüz işləmə rejimində maqnit qeyri-simmetrikliyindən yaranan α bucağı, onun həndəsi ölçülərindən asılıdır. Bu asılılığı təyin etmək üçün transformatorun maqnit sisteminin hesabatı aparılır və bu hesabatdan [2]

$$tg\alpha_A = \frac{\sqrt{3}}{3} \cdot \frac{h+4d}{3h+4d} = \frac{\sqrt{3}}{3} \cdot \frac{1 + \frac{4d}{h}}{3 + \frac{4d}{h}} \quad (9)$$

$$tg\alpha_C = -\frac{\sqrt{3}}{3} \cdot \frac{h+4d}{3h+4d} = -\frac{\sqrt{3}}{3} \cdot \frac{1 + \frac{4d}{h}}{3 + \frac{4d}{h}} \quad (10)$$

alınır. Burada $n = \frac{2d}{h}$ əvəzləməsi aparsaq

$$tg\alpha_A = \frac{\sqrt{3}}{3} \cdot \frac{1 + 2n}{3 + 2n} \quad (11)$$

$$tg\alpha_C = -\frac{\sqrt{3}}{3} \cdot \frac{1 + 2n}{3 + 2n} \quad (12)$$

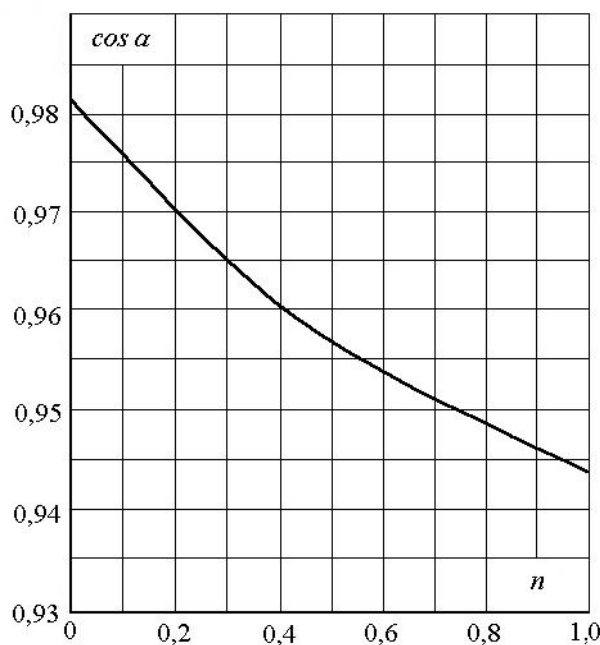
olduğunu alarıq. $|\alpha_B| = |\alpha_C| = \alpha$ olduğu üçün (11) ifadəsindən

$$\cos \alpha = \sqrt{\frac{1}{1+b^2}} \quad (13)$$

alınır. Burada

$$b = \frac{\sqrt{3}}{3} \cdot \frac{1 + 2n}{3 + 2n}. \quad (14)$$

Alınmış (13) ifadəsindən görünür ki, maqnit qeyri-simmetrikliliyini xarakterizə edən $\cos \alpha$ kəmiyyəti transformatorun həndəsi ölçülərindən asılı olaraq təyin edilir. Şəkil 2-də $\cos \alpha$ -nın $\frac{2d}{h} = n$ -dən asılılığı verilibdir. Xarakteristikadan görünür ki, n artıqca $\cos \alpha$ azalır və $n = 1$ olduqda $\cos \alpha = 0,942$ alınır.



Şək.2.

ÜGT-nin real konstruksiyasında $n \neq 0$ olur. Buna görə də n üçün ən kiçik qiymət $n = 0,1$ qəbul edilir. $n = 0,1$ qiymətinə uyğun gələn $\cos \alpha = 0,977$ olur və buna uyğun olan $\alpha = 12^\circ$ alınır.

Beləliklə, (7)-dən (6)-ni çıxıb, (7)-yə bölmüş olsaq, maqnit qeyri-simmetriklilikdən yaranan güc xətasını ala bilərik. Alınmış ifadə

$$\beta_C = 200 \cdot \frac{1 - \cos \alpha}{3} \% \quad (15)$$

kimi yazılır. Burada (13) və (14) ifadələrini nəzərə almış olsaq və $b < 1$ şərti daxilində qəbul edilmiş təqribi düsturdan istifadə etmiş olsaq, alınmış yeni ifadəni

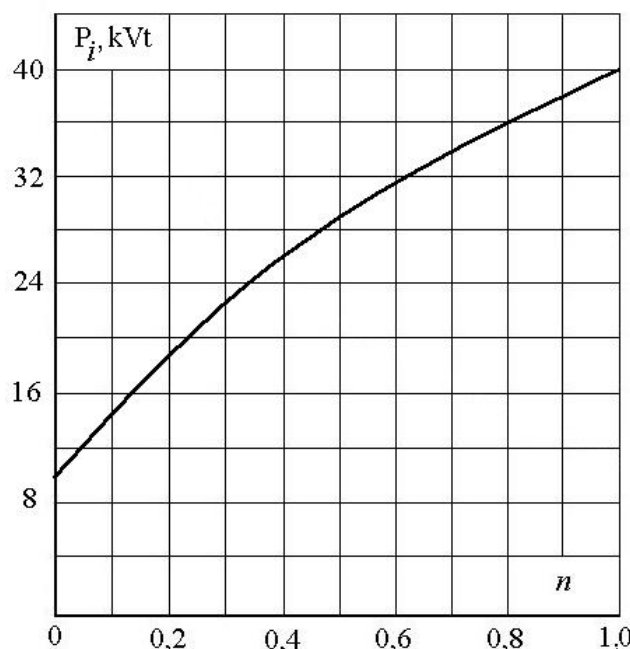
$$\beta_C = 11,11 \cdot \left(\frac{1+2n}{3+2n} \right)^2 \% \quad (16)$$

kimi yaza bilərik. Alınmış sonuncu ifadə ilə ÜGT-nin elektrik şəbəkəsindəngötürməş olduğu gücün onun həndəsi ölçülərindən asılılığı alınır. (16)-ni nəzərə almaqla ÜGT-nin izafî gücü:

$$P_i = \frac{\beta_C \cdot P_t}{100} = \frac{P_t}{100} 11,11 \left(\frac{1+2n}{3+2n} \right)^2 = 0,111 P_t \left(\frac{1+2n}{3+2n} \right)^2 \quad (17)$$

olur. Burada P_t -ÜGT-nin tam aktiv gücündür.

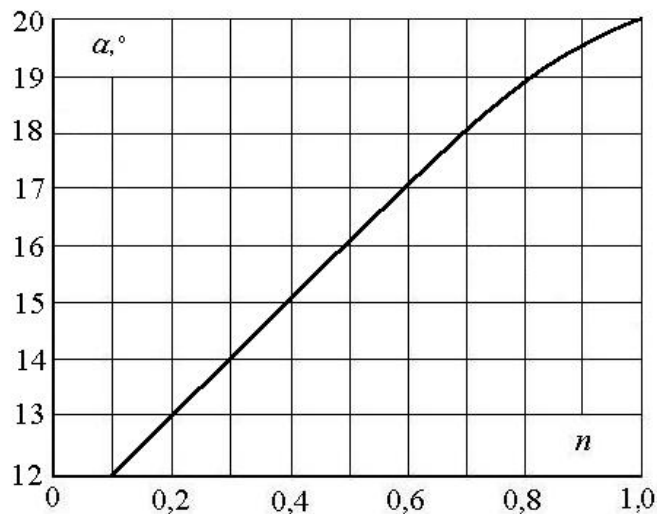
Şəkil 3-də $P_i = f(n)$ asılılığı verilmişdir.



Şək.3.

Alınmış xarakteristikadan görünür ki, n artdıqca transformatorun elektrik şəbəkəsindən qəbul etdiyi izafî güc, ona mütənasib olaraq artır. $P_i = 1 \text{ MVt}$ qəbul etmiş olsaq, $n = 0,1$ olduqda $P_i = 15,6 \text{ kVt}$ alınır. Bu o deməkdir ki, transformator elektrik şəbəkəsindən 1 MVt güc əvəzində 984 kVt götürür. $n=1$ olduqda isə həmin gücün qiyməti 960 kVt -a bərabər alınır. Beləliklə, müxtəlif güclü transformatorlarda şəbəkədən götürülən izafî gücün qiyməti də müxtəlif olur. n -in qiymətindən asılı olaraq götürülən izafî gücün qiyməti artır. Bu gücə nə enerji verən, nə də istifadəçilər tərəfindən nəzarət edilmir.

Elə ÜGT-lər mövcuddur ki, onlarda maqnit qeyri-simmetriklilikdən yaranan faz sürüşmə bucağı 12° -dən 20° -yə kimi dəyişə bilir. α -nın qiymətinin n -dən asılı dəyişmə qrafiki şəkil 4-də verilmişdir.



Şək.4.

1. Məmmədov F.İ., Hüseynov R.A., Hasiyev N.İ., Əmrəliyev A.B. Üçfazlı alçaq mexaniki tezlikli vibrotəsirləndiricinin maqnit sistemində simmetriyin təmin olunmasına dair. Sumqayıt Dövlət Universiteti, «Elmi xəbərlər», Sumqayıt, 2003, № 2, Cild 3, s.55-58.
2. Məmmədov F.İ., Hüseynov R.A., Hasiyev N.İ. Maqnit qeyri-simmetriyası olan üçfazlı elektromaqnit vibrotəsirləndiricinin parametrlərinin təyini. Energetikanın problemləri, Bakı, 2003, № 1, s.126-131.

К ИССЛЕДОВАНИЮ ТРЕХФАЗНОГО СИЛОВОГО ТРАНСФОРМАТОРА С УЧЕТОМ МАГНИТНОЙ АСИММЕТРИИ

МАМЕДОВ Ф.И., ГУСЕЙНОВ Р.А., ГАДЖИЕВ Н.И.

Исследуется асимметрия в магнитной системе трехфазного силового трансформатора. Определяются токи и мощности соответствующие режиму холостого хода в каждой из фаз установки с учетом магнитной асимметрии, а также зависимости фазового смещения, возникающего в фазах трансформатора из-за магнитной асимметрии от конструктивных размеров трансформатора.

TO RESEARCH OF A THREE-PHASE POWER TRANSFORMER WITH ALLOWANCE FOR OF MAGNETIC ASYMMETRY

MAMMADOV F.I., HUSEYNOV R.A., HAJIYEV N.I.

The asymmetry in a magnet system of a three-phase power transformer is studied. The currents and powers conforming to an idling in each of phases of the installation with allowance for of magnetic asymmetry, and also relation of phase displacement arising in phases of the transformer because of magnetic asymmetry from the design sizes of the transformer are determined.